

# 流动注射荧光猝灭法测定磷酸二氢盐<sup>\*</sup>

林旭聰, 謝增鴻<sup>\*\*</sup>, 陳國南

(福州大學化學系, 福建福州 350002)

**摘要:** 在 pH=5.4 的  $(\text{CH}_2)_6\text{N}_4\text{HCl}$  缓冲溶液中, 建立  $\text{Ce}(\text{IV})-\text{NaCl}-\text{H}_2\text{PO}_4^-$  三元荧光熄灭体系, 结合流动注射技术和荧光猝灭定量数学模型  $\ln(F_0/F) = \ln K_{MF} + \ln K_{e^-} - \ln K_F + \ln[M]$ , 考察  $\text{Ce}(\text{IV})$  的阳离子型体测定  $\text{H}_2\text{PO}_4^-$  的可行性和适用性。实验表明: 在 20 °C, pH=4.0~6.0 时,  $\text{Ce}(\text{IV})$  的阳离子型体与磷酸根反应, 荧光猝灭程度显著; 当注射泵转速为 70 r/min, 样品测定速度为 50 h<sup>-1</sup>, NaCl 浓度为 0.20~0.30 mol/L 时,  $\text{H}_2\text{PO}_4^-$  的测定线性浓度区间为 0.20~1.80 μg/mL, 检测限 LOD(3δ) = 0.003 μg/mL, 样品回收率为 97.3%~99.0%。

**关键词:** 流动注射分析; 荧光猝灭;  $\text{Ce}(\text{IV})$ ; 磷酸二氢盐

中图分类号: O657.32

文献标识码: A

文章编号: 1006-3757(2001)04-0215-04

随着大量富磷洗涤剂的使用和含磷污水的直接排放, 河流、湖泊和海洋严重富营养化, 水体自然生态平衡遭到破坏, 人类生活生产受到严重影响。因而, 发展一种灵敏、耐用的分析测试技术以实现对磷的在线分析, 实时检测水体磷污染状况, 为海洋污染调查中的重点项目<sup>[1]</sup>。目前, 传统的磷酸盐检测方法主要基于磷钼蓝法或磷钼酸盐-碱性离子对染料的光谱性质, 其操作繁琐、实时性差<sup>[1,2]</sup>; ISE 离子选择电极和生物酶传感器制造材料昂贵, 制备工艺复杂, 难以在实际应用中推广<sup>[3]</sup>。流动注射分析法(FIA)选择性好, 采样微量, 结合荧光测定技术, 其灵敏度高, 是目前高输出率和高重现性的实时测定方式<sup>[4,5]</sup>, 在其他领域测定磷酸盐也得到广泛应用<sup>[6~9]</sup>, 但迄今为止, 其在海水的磷酸盐监测中, 应用很少<sup>[5]</sup>; 利用  $\text{Ce}(\text{IV})$  在弱酸介质中的荧光检测水体中的无机磷酸盐尚未见报道。因此本文建立  $\text{Ce}(\text{IV})-\text{NaCl}-\text{H}_2\text{PO}_4^-$  三元荧光熄灭体系, 基于停流 FIA 技术, 联合应用荧光光度法<sup>[10]</sup>, 利用  $\text{Ce}(\text{IV})$  的阳离子型体在磷酸盐存在下产生荧光猝灭的光谱性质<sup>[11]</sup>, 考察其测定  $\text{H}_2\text{PO}_4^-$  的可行性和适用性, 探索新的测量水中磷酸盐的分析途径。

## 1 实验部分

### 1.1 仪器与试剂

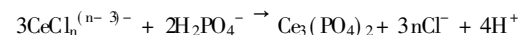
970CRT 荧光光度计(上海分析仪器总厂), LZ-2000 流动注射仪(沈阳肇发自动分析研究所)。

$\text{Ce}^{3+}$  标准溶液: 称取  $\text{Ce}_2(\text{SO}_4)_3 \cdot 8\text{H}_2\text{O}$  (AR., Merck in German) 0.0712 g, 溶于 500 mL 水中, 配制  $2.00 \times 10^{-5}$  mol/L 溶液。

缓冲溶液: 取 200.0 g  $(\text{CH}_2)_6\text{N}_4$  (AR., 上海试剂研究所), 溶于 500 mL 水中, 加入 50.0 mL 浓 HCl (AR., 汕头西陇化工厂), pH=5.4。实验所用水为亚沸水, 其他试剂均为分析纯。

### 1.2 实验原理

在 pH=5.4 的 NaCl 与  $(\text{CH}_2)_6\text{N}_4\text{HCl}$  混合液中, Cl<sup>-</sup> 浓度较大,  $\text{Ce}^{3+}$  主要存在形体为  $\text{CeCl}_n^{(n-3)-}$  ( $n=1\sim 6$ ), 其在 254.0 nm 紫外光激发下产生荧光 ( $\lambda=358.0\text{nm}$ ), 与磷酸盐发生静电作用而使得  $\text{CeCl}_n^{(n-3)-}$  的荧光产生猝灭, 化学反应为:



其猝灭程度与一定范围的磷酸根浓度成线性关系, 可应用于海水中磷酸盐含量的测定。

\* 国家教育部《高等学校骨干教师资助计划》项目; 福建省自然科学基金资助研究课题(D9910009); 福建省科技三项资助研究课题(K99037)。

\*\* 通讯联系人。

### 1. 3 实验方法

以蠕动泵 B 推动  $\text{Ce}^{3+}$  溶液、缓冲溶液 + NaCl 溶液和  $\text{H}_2\text{PO}_4^-$  试液 3 种溶液 ( $\text{Ce}^{3+}$  溶液和缓冲溶液 + NaCl 混合液经化学组合块混合), 经采样管采样后, 旋转转子  $60^\circ$ , 进入 Inject 模式, 以蠕动泵 A 推动试样注入流通池, 检测其荧光猝灭程度, 测定  $\text{H}_2\text{PO}_4^-$ , 其工作流程见图 1.

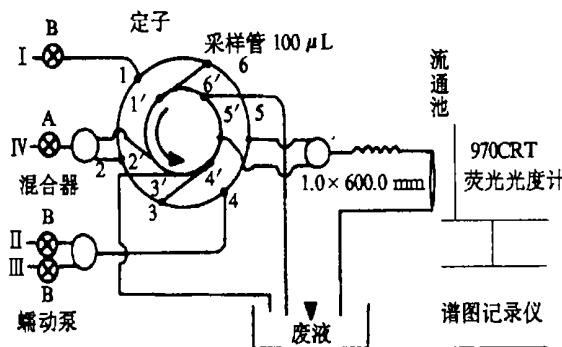


图 1 流动注射流程图

- iv.  $\text{H}_2\text{PO}_4^-$  试样, ④.  $\text{Ce}^{3+}$  溶液,
  - ⑤. 缓冲液 + NaCl 溶液, ⑥. 载液(亚沸水)
  - 1~6: 定子注射孔; 1'~6': 转子注射孔
- Fig. 1 Schematic diagram of flow injection system  
 iv.  $\text{H}_2\text{PO}_4^-$  samples, ④.  $\text{Ce}^{3+}$  standard solution,  
 ⑤. Buffer solution + NaCl aqueous solution  
 ⑥. Carrier (Re-distilled water)

1~6: The input point of stator, 1'~6': The output point of rotor

## 2 结果与讨论

### 2. 1 荧光光谱

以蠕动泵 B 推动  $\text{Ce}^{3+}$  溶液和缓冲液 + NaCl 混合液, 采样 100  $\mu\text{L}$ ,  $S_{\text{灵敏度}} = 4$ , Slit: Ex= 5 nm, Em= 10 nm 时,  $\text{CeCl}_n^{(n-3)-}$  荧光激发和发射波长分别为 254 nm 与 358 nm; 采样注射  $\text{H}_2\text{PO}_4^-$  溶液 100  $\mu\text{L}$ , 体系的荧光强度发生猝灭, 其猝灭程度随  $\text{H}_2\text{PO}_4^-$  增加而增强(图 2).

### 2. 2 测定条件的选择

#### 2. 2. 1 pH 的影响

随 pH 增加, pH 为 3.0~4.0,  $\text{CeCl}_n^{(n-3)-}$  荧光强度增强; pH 为 4.0~5.0 和 6.0~7.5, 荧光强度下降, 在 pH 为 6.0~7.5,  $\text{Ce}^{3+}$  与  $\text{OH}^-$  形成氢氧化物沉淀, 荧光熄灭; 当 pH 大于 8.0,  $\text{Ce}^{3+}$  与  $\text{OH}^-$  形成氢氧根配合物, 荧光增强, 波长发生位移; pH 为 5.0~6.0 时, 体系荧光强度稳定, 为测定最佳 pH 范围.

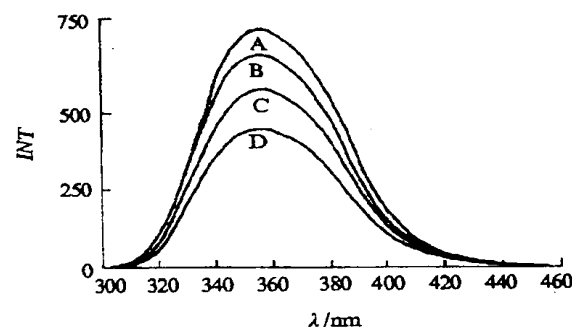


图 2 荧光猝灭光谱

Fig. 2 Spectra of fluorescent quenching

$\text{H}_2\text{PO}_4^-$  ( $\mu\text{g}/\text{mL}$ ): (A) 0.00, (B) 1.00, (C) 2.00, (D) 4.00

#### 2. 2. 2 试剂加入顺序的影响

实验表明, 按  $\text{Ce}^{3+}$  溶液 +  $\text{H}_2\text{PO}_4^-$  + 缓冲溶液和 NaCl 混合液顺序加入, 磷酸根先与  $\text{Ce}^{3+}$  反应完全而不干扰在 pH= 5.40 条件下的  $\text{CeCl}_n^{(n-3)-}$  的形成, 其荧光强度值稳定, 平衡时间短( $t$  小于 20 s); 按  $\text{Ce}^{3+}$  溶液 + NaCl 溶液 +  $\text{H}_2\text{PO}_4^-$  和缓冲溶液混合液顺序加入,  $\text{CeCl}_n^{(n-3)-}$  稳定, 过量的  $\text{Cl}^-$  在 pH= 5.4 缓冲溶液中与磷酸根共存, 相互竞争而反应抑制, 阻碍了  $\text{Ce}_3(\text{PO}_4)_2$  的形成, 其荧光稳定时间长( $t$  约等于 45 min), 故选择第一种试剂加入顺序.

#### 2. 2. 3 采样量的影响

实验考察了采样量为 25  $\mu\text{L}$ , 50  $\mu\text{L}$ , 80  $\mu\text{L}$ , 100  $\mu\text{L}$ , 150  $\mu\text{L}$ , 200  $\mu\text{L}$  时体系的荧光响应, 表明随采样量的增加, 体系中试剂的有效浓度增加, 荧光响应强度逐渐增强, 体系灵敏度变高, 故加大采样量有利于磷酸盐的测定; 由于采样量大会增加试剂的消耗, 在实际测定使用时尽量减少试剂损耗量, 故采样量为 100  $\mu\text{L}$  较为理想.

#### 2. 2. 4 转速的影响

调节蠕动泵的转速以控制载流的流动速度, 考察其对体系荧光强度的影响, 实验表明, 随载流流速的增强, 体系荧光强度缓慢增强. 当转速较低时( $r$  小于 45 r/min), 载流流动缓慢, 荧光峰较宽, 且在流动池中易出现回流而产生严重拖尾, 不利于精确测定; 转速较高时( $r$  大于 75 r/min), 荧光响应较好, 但其强度受载流影响而不稳定, 测量误差大; 而转速中等时( $r$  等于 60~75 r/min), 体系响应灵敏, 荧光强度稳定, 为最佳流速. 故采用转速  $r$  等于 70 r/min 为体系载液的流动速度.

## 2. 2. 5 氯化钠浓度的选择

在  $\text{Ce}(\text{IV})-\text{NaCl}$  体系中,  $\text{NaCl}$  浓度对体系的荧光强度有较大影响。在弱酸性条件下,  $\text{Ce}(\text{IV})$  与  $\text{Cl}^-$  形成  $\text{CeCl}_n^{(n-3)-}$  的能力随  $\text{Cl}^-$  浓度的增大而增强, 当  $\text{Cl}^-$  浓度大于 0.20 mol/L, 溶液中  $\text{Ce}(\text{IV})$  基本完全配合形成  $\text{CeCl}_n^{(n-3)-}$ , 体系荧光强度恒定。

## 2. 3 磷酸盐测定线性范围及检测限

荧光强度猝灭值~浓度曲线线性区间小, 不能准确测定磷酸盐的线性浓度。应用荧光猝灭数学模型  $\ln(F_0/F) = \ln K_{MF} + \ln K_e - \ln K_F + \ln[M]$ , 增强猝灭曲线线性, 准确表明磷酸根与  $\text{CeCl}_n^{(n-3)-}$  的猝灭作用。

结果表明, 在  $\text{H}_2\text{PO}_4^-$  浓度为 0.20~4.00  $\mu\text{g}/\text{mL}$  体系中, 荧光猝灭显著(图 3), 强度比值对数  $\ln(F_0/F)$  与  $\text{H}_2\text{PO}_4^-$  浓度在较大范围内呈良好线性关系(图 4); 其线性测定区间为 0.20~1.80  $\mu\text{g}/\text{mL}$ (图 5), 方程为  $y = 0.0682x - 0.0068$ ,  $R^2 = 0.9927$ , 检测限  $\text{LOD}(3\delta) = 0.003 \mu\text{g}/\text{mL}$ 。

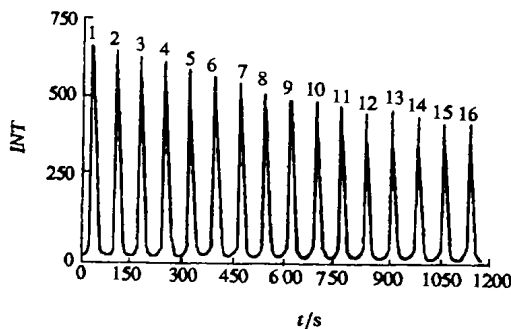


图 3 流动注射荧光猝灭光谱图

Fig. 3 Fluorescence quenching spectra with FIA

$\text{H}_2\text{PO}_4^- (\mu\text{g}/\text{mL}): (1) 0.00 (2) 0.20 (3) 0.40 (4) 0.60 (5) 0.80 (6) 1.00 (7) 1.20 (8) 1.40 (9) 1.60 (10) 1.80 (11) 2.00 (12) 2.20 (13) 2.40 (14) 3.00 (15) 3.50 (16) 4.00$

## 2. 4 共存离子的影响

加入  $\text{Mg}^{2+}$ 、 $\text{Ca}^{2+}$ 、 $\text{Fe}^{3+}$ 、 $\text{Mn}^{2+}$ 、 $\text{Ni}^{2+}$ 、 $\text{CO}_3^{2-}$ 、 $\text{Ac}^-$ 、 $\text{SO}_4^{2-}$ 、 $\text{SiO}_3^{2-}$  离子, 测定其荧光猝灭程度。当测定误差小于 3 %, 体系中共存的  $\text{Fe}^{3+}$  干扰较大, 加入  $\text{Ac}^-$  离子可较好地消除干扰;  $\text{Mg}^{2+}$ 、 $\text{Ca}^{2+}$ 、 $\text{Mn}^{2+}$ 、 $\text{Ni}^{2+}$ 、 $\text{Ac}^-$ 、 $\text{SO}_4^{2-}$  离子的干扰较小, 随浓度增大变化不明显,  $|\Delta F_0/F|$  为 0.003~0.016,  $|\Delta \ln(F_0/F)|$  为 0.001~0.007;  $\text{CO}_3^{2-}$ 、 $\text{SiO}_3^{2-}$  的  $|\Delta F_0/F|$  为 0.05~0.09,  $|\Delta \ln(F_0/F)|$  为 0.02~0.04,

浓度较大时会干扰  $\text{H}_2\text{PO}_4^-$  的测定。

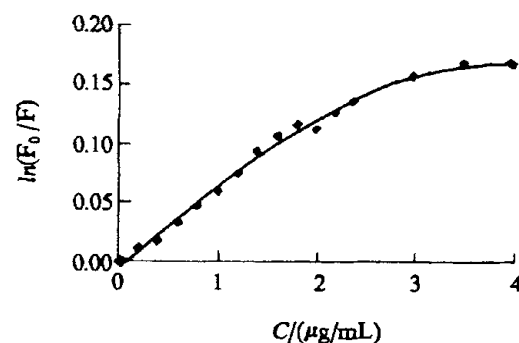


图 4 磷酸根响应范围

Fig. 4 Response range of phosphate

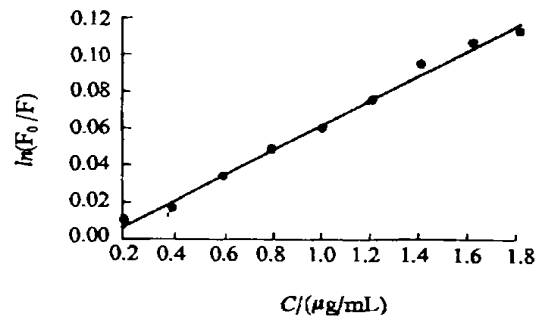


图 5 磷酸盐工作曲线

Fig. 5 Calibration graph of phosphate

表 1 共存离子对  $\text{H}_2\text{PO}_4^- (0.50 \mu\text{g}/\text{mL})$  测定的干扰允许限(误差  $\leq 3\%$ )

Table 1 Tolerance limit for the different species in the detection of  $\text{H}_2\text{PO}_4^- (0.50 \mu\text{g}/\text{mL})$  with error that was less than 3 %

共存离子	允许限(摩尔比)	共存离子	允许限(摩尔比)
$\text{Mg}^{2+}$	1 000	$\text{CO}_3^{2-}$	50
$\text{Ca}^{2+}$	600	$\text{Ac}^-$	500
$\text{Mn}^{2+}$	450	$\text{SO}_4^{2-}$	200
$\text{Ni}^{2+}$	420	$\text{SiO}_3^{2-}$	40
$\text{Fe}^{3+}$	< 25		

## 2. 5 试样测定

在  $\text{pH}=5.4$ ,  $\text{NaCl}$  浓度为 0.20 mol/L 的条件下, 测定三个  $\text{H}_2\text{PO}_4^-$  模拟样品及三个实际样品的回收率, 测定结果如下。

表 2 磷酸盐模拟试样的测定

Table 2 Analytical result of artificial samples

模拟试样	加入量 ( $\mu\text{g/mL}$ )	实际测定量* ( $\mu\text{g/mL}$ )	回收率 (%)
$x_1$	0.50	0.49	98.0
$x_2$	1.00	0.99	99.0
$x_3$	1.50	1.46	97.3

\* 五次测定平均值

表 3 磷酸盐样品的测定

Table 3 Analytical result of phosphate samples

样 品	测定量 ( $\mu\text{g/mL}$ )	加入量 ( $\mu\text{g/mL}$ )	总测定量 ( $\mu\text{g/mL}$ )	回收率 (%)
A	0.16	1.00	1.14	98.2
B	0.26	1.00	1.32	104.7
C	0.25	1.00	1.27	101.5

A 福州大学护校河水样, B 福州西河水样, C 福州大学水池水样

## 参考文献:

- [1] Ian D McKelvie, Darren M W Peat and Paul J Worsfold. Technique for the quantification and speciation of phosphate in natural waters[ J]. Analytical Proceedings including Analytical Communications, 1995, 32 437~ 445.
- [2] Jose L F C Lima, Antonio O S S Rangel, M Renata S Soto. Flow injection system with gas diffusion for the sequential determination of total nitrogen and phosphorus in vegetables [ J]. Fresenius J Anal Chem, 1997, 358 657~ 662.
- [3] Arnold De Marco, Bobby Pejcic, Zuliang Chen. Flow injection potentiometric determination of phosphate in waste waters and fertilizers using a cobalt wire selective electrode[ J]. Analyst, 1998, 123: 1635~ 1640.
- [4] Zuliang Chen, Pauline Grierson, Mark A Adams. Direct determination of phosphate in soil extracts by potentiometric flow injection using a cobalt wire electrode[ J]. Analytical Chimica Acta, 1998, 363 191~ 197.
- [5] Liliya K Shpigun, Irina Ya Kolotyrkina and Yurij A Zobkov. Experience with flow injection analysis in marine chemical research[ J]. Analytical Chimica Acta, 1992, 261 307~ 314.
- [6] 宋功武. 流动注射荧光法测定磷和砷[ J]. 光谱学与光谱分析, 1999, 19(3): 466~ 467.
- [7] Chalk, Stuart J, Tyson, Julian F. Flow injection reagent introduction by supported liquid and nafion membranes: determination of phosphate[ J]. Talanta, 1994, 41(10): 1797~ 1805.
- [8] Oshima, Mitsuko, Goto, Nobutake, Susanto, Joko P et al. Determination of phosphate as aggregates of ion associates by light scattering detection and application to flow injection[ J]. Analyst, 1996, 121 (8): 1085~ 1088.
- [9] 朱玉瑞, 傅强, 腾恩江, 刘廷良. 流动注射分光光度法测定水中痕量正磷酸盐[ J]. 山东师大学报, 1998, 26(4): 456~ 461.
- [10] XIE Zeng-hong, GUO Liang-qia, KE Zi-hou et al. Fluorescence spectrophotometric determination of trace ammonia[ J]. Chemical Journal of Chinese Universities (Supplement), 1999, (20): 433.
- [11] 黄承志, 李克安, 童沈阳. 在 NaCl 介质中小牛胸腺 DNA 对 Ce(IV) 荧光猝灭的机理研究, 分析化学, 1997, 25(7): 768~ 772.

## Phosphate Determination Based on Fluorescence Quench of Cerium(IV) Complex with Flow Injection Analysis

LIN Xu-cong, XIE Zeng-hong, CHEN Guo-nan

(Department of Chemistry, Fuzhou University, Fuzhou 350002, China)

**Abstract:** The fluorescence spectra of cerium(IV) emitted at 358 nm excited at 254 nm in sodium chloride medium. A new FIA method using fluorescent quenching for the determination of phosphate was proposed. It was based on the ability of phosphate to inhibit the formation of a strongly fluorescent complex of cerium(IV) with NaCl in  $(\text{CH}_2)_6\text{N}_4^+$ -HCl buffer solution ( $\text{pH}=5.4$ ), for the electrostatic interaction of the positive species of  $\text{Ce}^{4+}$  in water with the negative charge of phosphate. With the analysis model  $\ln(F_0/F) = \ln K_{MF} + \ln K_{e^-} - \ln K_F + \ln[M]$  based fluorescent quenching, optimal chemical conditions for fluorescent quenching of the  $\text{CeCl}_n^{(3-n)^-}$  ( $n=1\sim 6$ ) positive species by phosphates in samples were studied. The measurement throughput was  $50 \text{ h}^{-1}$ , and the concentration ranges of sodium chloride were  $0.20\sim 0.30 \text{ mol/L}$ . Within the range of  $\text{H}_2\text{PO}_4^-$  from  $0.20$  to  $1.80 \mu\text{g/mL}$ , calibration graph was obtained and the limit of detection was  $0.003 \mu\text{g/mL}$ . The recoveries of artificial samples ranged from 97.3% to 99.0%.

**Key word:** flow injection analysis; fluorescent quenching; cerium(IV); phosphate**Classifying number:** O657.32